

第416回地震調査委員会資料

<目次>

- ・東海・紀伊半島・四国における短期的SSE解析結果（2025年7月）・・・2
- ・トカラ列島近海の地震活動の応力モニタリング　・・・・・・・・・・8

令和7年7月9日



東海・紀伊半島・四国における短期的 SSE 解析結果（2025 年 7 月）

産業技術総合研究所

近畿・中国・四国地方

2025 年 6 月 10 日～7 月 2 日にかけて、四国地方において深部低周波地震が観測された（図 1）。図 2 は周辺の産総研・防災科研の観測点における歪・傾斜の観測結果である。これらの結果は BAYTAP-G により気圧応答成分、潮汐成分およびホワイトノイズ成分を取り除き、2025 年 5 月 27 日～6 月 9 日のデータを用いて 1 次トレンドを除去したものである。

図 3～6 は図 2 における[A]～[D]の変化を説明する短期的 SSE の断層モデルの推定結果（それぞれ Mw 6.0, 5.5, 5.9, 5.8）である。本資料作成時点において活動が継続しているようにも見えるため、[D]については暫定の解析結果である。今回の活動域付近における最近の短期的 SSE の活動は、2024 年 12 月 17 日～19 日午前（Mw 6.0；図 3～6 の灰色矩形 1）、2024 年 12 月 19 日午後～22 日午前（Mw 5.8；同 2）、2025 年 2 月 2 日午後～4 日午前（Mw 5.6；同 3）、2025 年 2 月 23 日～26 日午前（Mw 5.5；同 4）、2025 年 3 月 25 日～29 日（Mw 5.6；同 5）*、2025 年 4 月 23 日～25 日午前（Mw 5.5；同 6）*である。なお、*は参考解析結果である。

2025 年 6 月 29 日～7 月 2 日午前にかけて、紀伊半島において深部低周波地震が観測された（図 7）。図 8 は周辺の産総研・防災科研の観測点における歪・傾斜の観測結果である。これらの結果は BAYTAP-G により気圧応答成分、潮汐成分およびホワイトノイズ成分を取り除き、2025 年 6 月 15 日～28 日のデータを用いて 1 次トレンドを除去したものである。

図 9 は図 8 における[A]の変化を説明する短期的 SSE の断層モデルの推定結果（Mw 5.5）である。今回の活動域付近における最近の短期的 SSE の活動は、2024 年 9 月 7 日～9 日午前（Mw 5.6；図 9 の灰色矩形 1）、2025 年 3 月 17 日午後～18 日（Mw 5.3；同 2）、2025 年 4 月 27 日～28 日（Mw 5.8；同 3）、2025 年 4 月 29 日～30 日午前（Mw 5.8；同 4）*、2025 年 4 月 30 日午後～5 月 4 日午前（Mw 5.6；同 5）*である。なお、*は参考解析結果である。

解析方法

短期的 SSE の断層面推定には、それぞれの観測点の水平歪 4 成分、体積歪、地下水圧、もしくは傾斜 2 成分の記録を用いる。地下水圧は、O1 および M2 分潮の振幅を BAYTAP-G [Tamura et al., 1991] により計算し、GOTIC2 [Matsumoto et al., 2001] により推定した地球固体潮汐および海洋荷重潮汐（O1 および M2 分潮）との振幅比を用いて、体積歪に変換する。歪・地下水・傾斜ともに、観測波形から BAYTAP-G により、気圧応答成分、潮汐成分およびホワイトノイズ成分を取り除く。また、イベント直前の期間を用いて 1 次トレンドも取り除く。深部低周波地震活動も参考にして、数時間～半日単位で活動開始・終了時期を判断し、その期間の変化量を短期的 SSE による変化量とする。その際、歪については Matsumoto et al. [2025] の手法で理論潮汐歪を用いてキャリブレーションを行っている。

断層面の推定は、計算時間の短縮と、推定された結果の一意性の確認のために 2 段階で行う。断層面推定は板場ほか[2012]の手法を用いた。フィリピン海プレート境界面上[弘瀬ほか, 2007]に多数の

断層面を仮定してグリッドサーチにより推定する。仮定した断層面上のすべりによって各観測点で期待される歪変化の計算には Okada [1992] のプログラムを用いる。1 段階目には、断層面のサイズは幅・長さ共に 20 km で固定し、断層面の位置（0.1° 間隔）およびすべり量（1-50 mm）のみ可変として計算を行う。1 段階目の結果を示す図では、それぞれの断層面において最適なすべり量を与えたときの、観測値とそのすべり量による計算値との残差の総和の分布を示している。これにより、短期的 SSE が生じている可能性が高い領域を絞り込むとともに、2 段階目で推定された結果の任意性を確認することができる。2 段階目では、1 段階目で絞り込んだ領域（=残差が小さい領域）付近で、位置及びすべり量に加えて、断層面の長さ（10-80 km の間で 1 km 間隔）および幅（10-50 km の間で 1 km 間隔）を可変として計算を行なう。その結果、観測値との残差が最小となる解が 1 つ計算されるが、計算に使用している観測点数が少ない場合や、断層面と観測点配置の関係によっては任意性が高くなるので注意が必要である。なお、異種観測値を統合して解析するため、観測点ごとに残差をノイズレベルによって規格化している。ノイズレベルは、気圧応答、潮汐成分およびホワイトノイズ成分を取り除いた後（微動活動が活発な期間および周辺の日雨量 50 mm を超える時期を除く）の 24 時間階差の 2 σ とした。

謝辞

短期的 SSE の断層モデル推定には、気象庁の歪計と防災科研 Hi-net 高感度加速度計（傾斜計）を使用しました。深部低周波地震の震央位置表示には、気象庁の一元化カタログを使用しました。ここに記して感謝します。

参考文献

- 弘瀬冬樹, 中島淳一, 長谷川昭 (2007), Double-Difference Tomography 法による西南日本の 3 次元地震波速度構造およびフィリピン海プレートの形状の推定, *地震* **2**, 60, 1-20.
- 板場智史, 松本則夫, 北川有一, 小泉尚嗣, 松澤孝紀, 歪・傾斜・地下水統合解析による短期的スロースリップイベントのモニタリング, *日本地球惑星連合 2012 年大会*, 千葉, 5 月, 2012.
- Matsumoto, K., T. Sato, T. Takanezawa, and M. Ooe, GOTIC2: A Program for Computation of Oceanic Tidal Loading Effect, *J. Geod. Soc. Japan*, **47**, 243-248, 2001.
- Matsumoto, N., Kamigaichi, O. & Yabe, S. In-situ calibration of Ishii-type multicomponent borehole strainmeters deployed in southwest Japan. *Earth Planets Space* **77**, 57 (2025). <https://doi.org/10.1186/s40623-025-02176-y>
- Okada, Y. (1992), Internal deformation due to shear and tensile faults in a half-space, *Bull. Seismol. Soc. Am.*, **82**, 1018-1040.
- Tamura, Y., T. Sato, M. Ooe and M. Ishiguro (1991), A procedure for tidal analysis with a Bayesian information criterion, *Geophys. J. Int.*, **104**, 507-516.

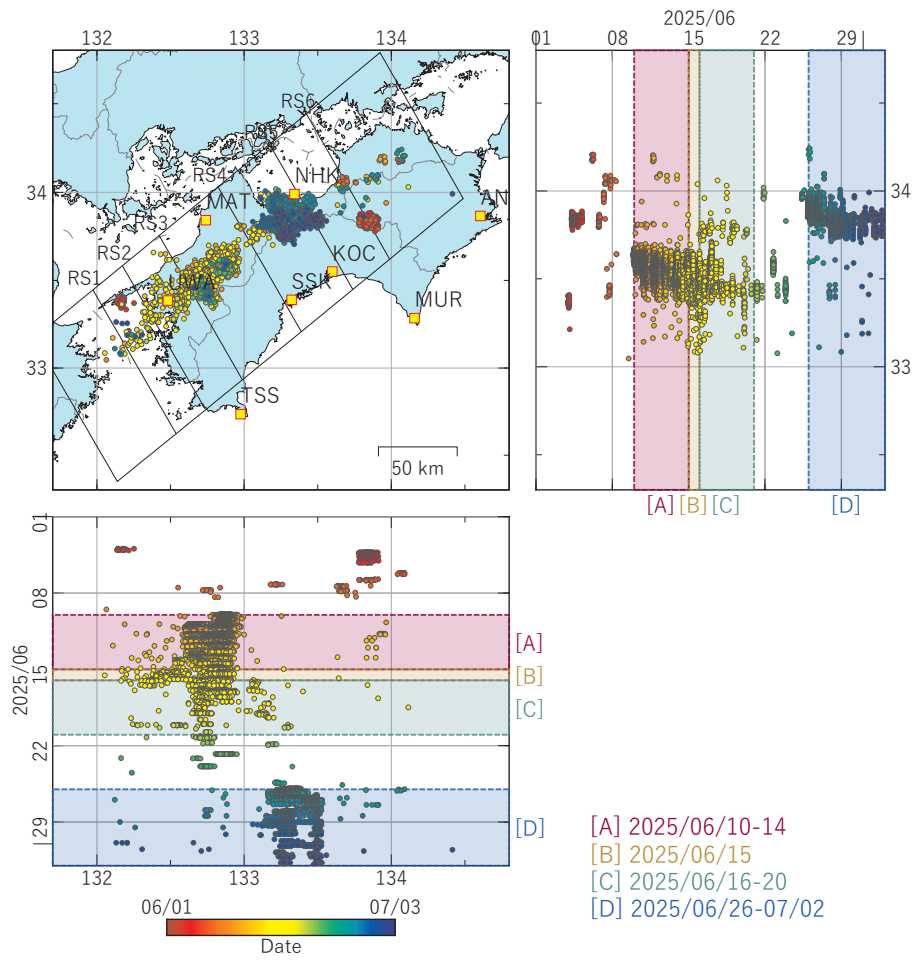


図1 四国地方における低周波地震の時空間分布図 (2025/06/01 00:00 - 2025/07/03 00:00 (JST))。気象庁カタログによる。
 (観測点名) ANK: 阿南桑野, MUR: 室戸岬, NHK: 新居浜黒島, KOC: 高知五台山, SSK: 須崎大谷, MAT: 松山南江戸, UWA: 西予宇和, TSS: 土佐清水松尾

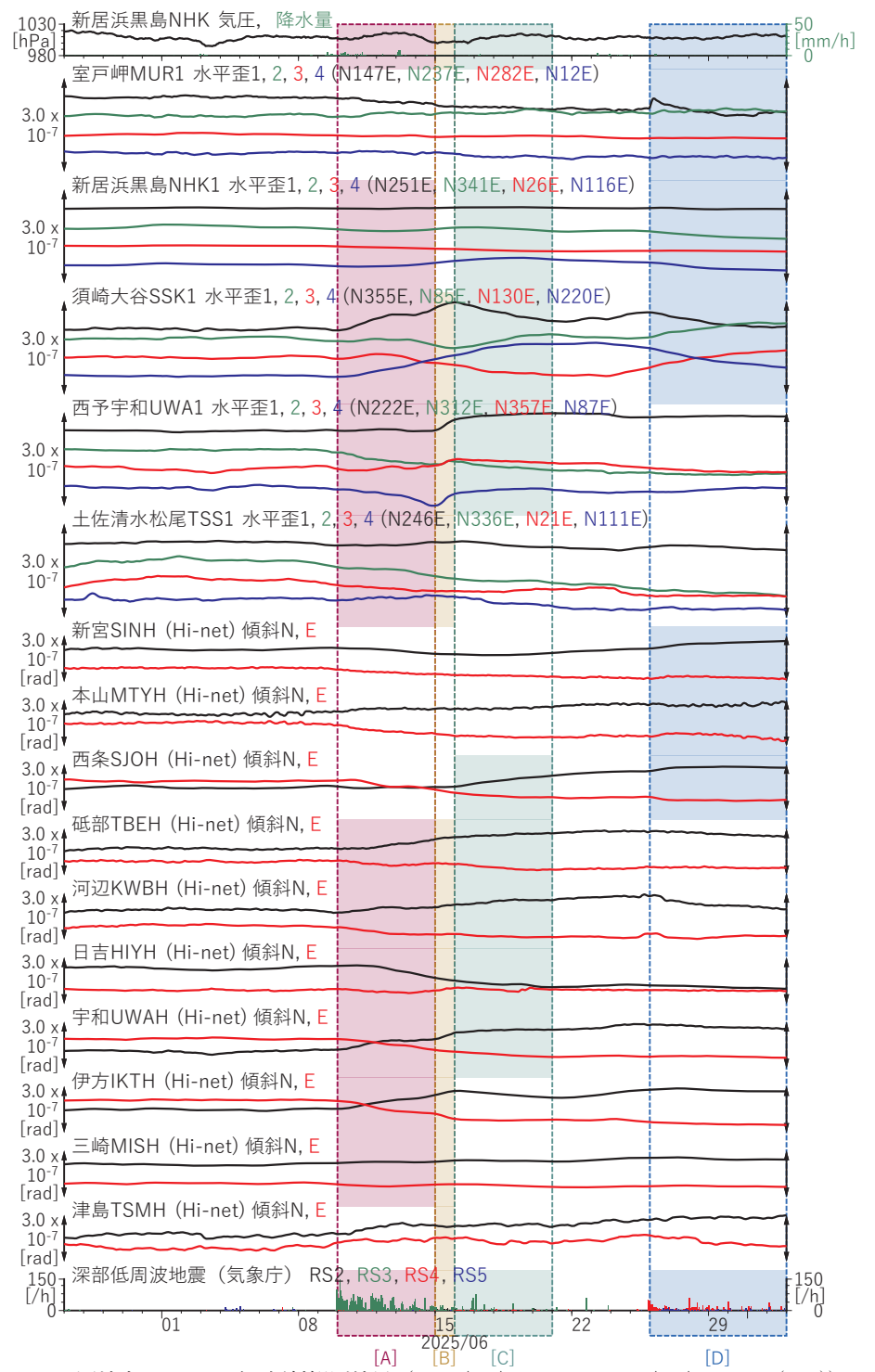


図2 四国地方における歪・傾斜観測結果 (2025/05/27 00:00 - 2025/07/03 00:00 (JST))

[A] 2025/06/10-14

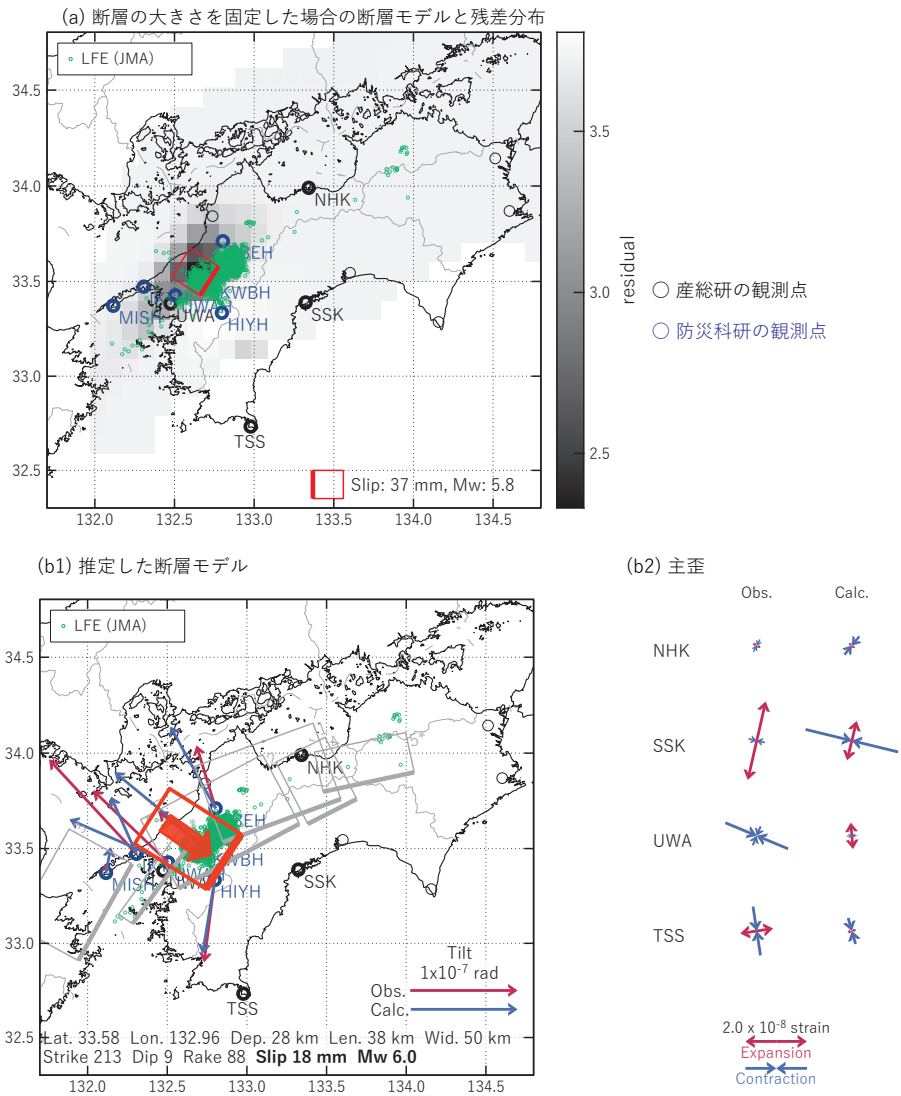


図3 2025/06/10-14の歪・傾斜変化（図2[A]）を説明する断層モデル。

(a) プレート境界面に沿って20 x 20 kmの矩形断層面を移動させ、各位置で残差の総和を最小にするすべり量を選んだときの、対応する残差の総和の分布。赤色矩形が残差の総和が最小となる断層面の位置。

(b1) (a)の断層面付近をグリッドサーチして推定した断層面（赤色矩形）と断層パラメータ。灰色矩形は最近周辺で発生した短期的SSEの推定断層面。

1: 2024/12/17-19AM (Mw6.0), 2: 2024/12/19PM-22AM (Mw5.8), 3: 2025/02/02PM-04AM (Mw5.6),
4: 2025/02/23-26AM (Mw5.5), 5*: 2025/03/25-29 (Mw5.6), 6*: 2025/04/23PM-25AM (Mw5.5)

*参考解析結果

(b2) 主歪の観測値と(b1)に示した断層モデルから求めた計算値との比較。

[B] 2025/06/15

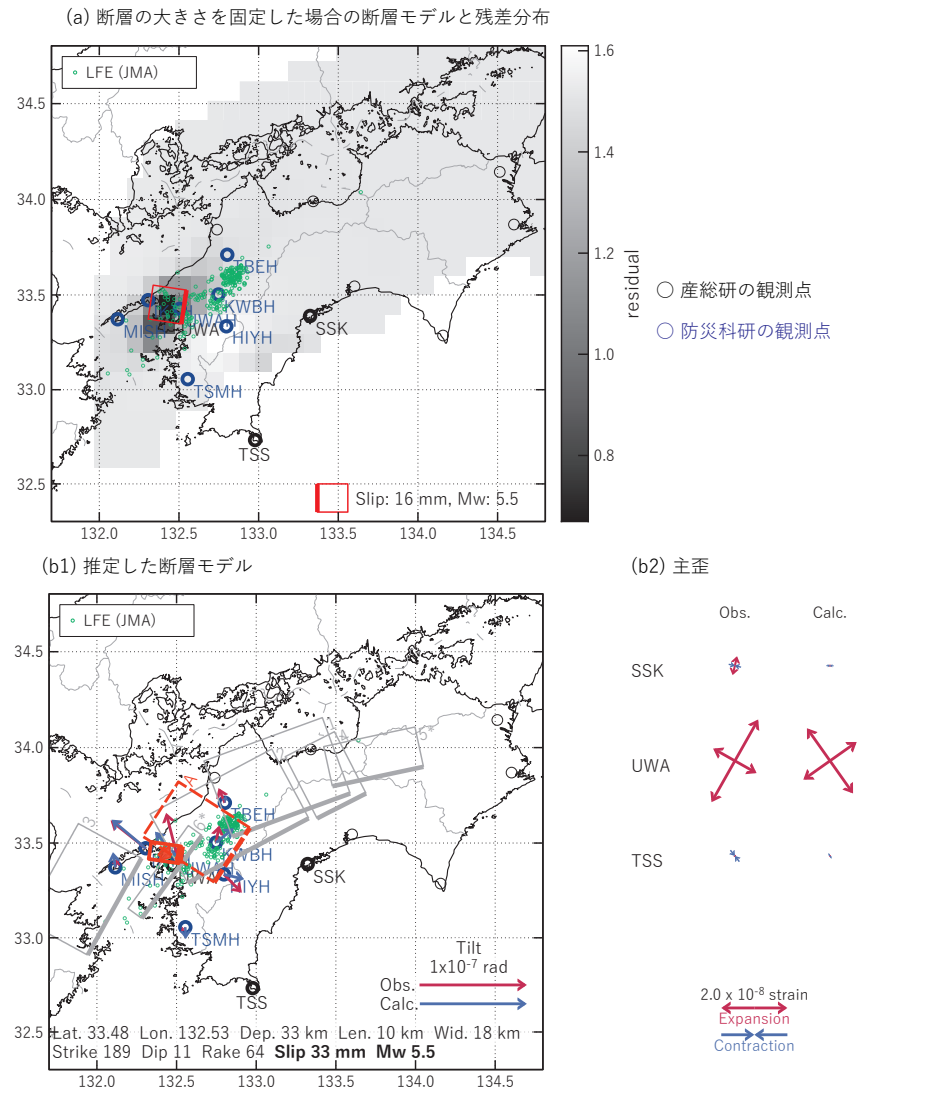


図4 2025/06/15の歪・傾斜変化（図2[B]）を説明する断層モデル。

(a) プレート境界面に沿って20 x 20 kmの矩形断層面を移動させ、各位置で残差の総和を最小にするすべり量を選んだときの、対応する残差の総和の分布。赤色矩形が残差の総和が最小となる断層面の位置。

(b1) (a)の断層面付近をグリッドサーチして推定した断層面（赤色矩形）と断層パラメータ。灰色矩形は最近周辺で発生した短期的SSEの推定断層面。

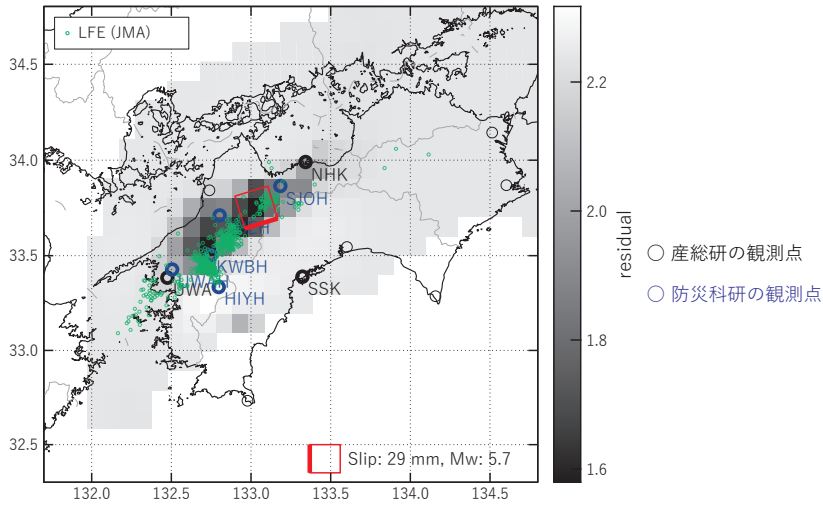
1: 2024/12/17-19AM (Mw6.0), 2: 2024/12/19PM-22AM (Mw5.8), 3: 2025/02/02PM-04AM (Mw5.6),
4: 2025/02/23-26AM (Mw5.5), 5*: 2025/03/25-29 (Mw5.6), 6*: 2025/04/23PM-25AM (Mw5.5),
A: 2025/06/10-14 (Mw6.0)

*参考解析結果

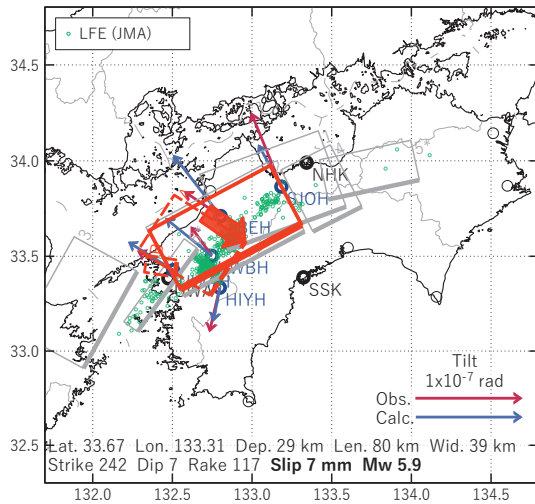
(b2) 主歪の観測値と(b1)に示した断層モデルから求めた計算値との比較。

[C] 2025/06/16-20

(a) 断層の大きさを固定した場合の断層モデルと残差分布



(b1) 推定した断層モデル



(b2) 主歪

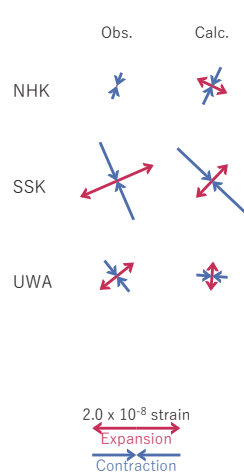


図5 2025/06/16-20の歪・傾斜変化 (図2[C]) を説明する断層モデル。

(a) プレート境界面に沿って20 x 20 kmの矩形断層面を移動させ、各位置で残差の総和を最小にするすべり量を選んだときの、対応する残差の総和の分布。赤色矩形が残差の総和が最小となる断層面の位置。

(b1) (a)の断層面付近をグリッドサーチして推定した断層面 (赤色矩形) と断層パラメータ。灰色矩形は最近周辺で発生した短期的SSEの推定断層面。

1: 2024/12/17-19AM (Mw6.0), 2: 2024/12/19PM-22AM (Mw5.8), 3: 2025/02/02PM-04AM (Mw5.6), 4: 2025/02/23-26AM (Mw5.5), 5*: 2025/03/25-29 (Mw5.6), 6*: 2025/04/23PM-25AM (Mw5.5), A: 2025/06/10-14 (Mw6.0), B: 2025/06/15 (Mw5.5)

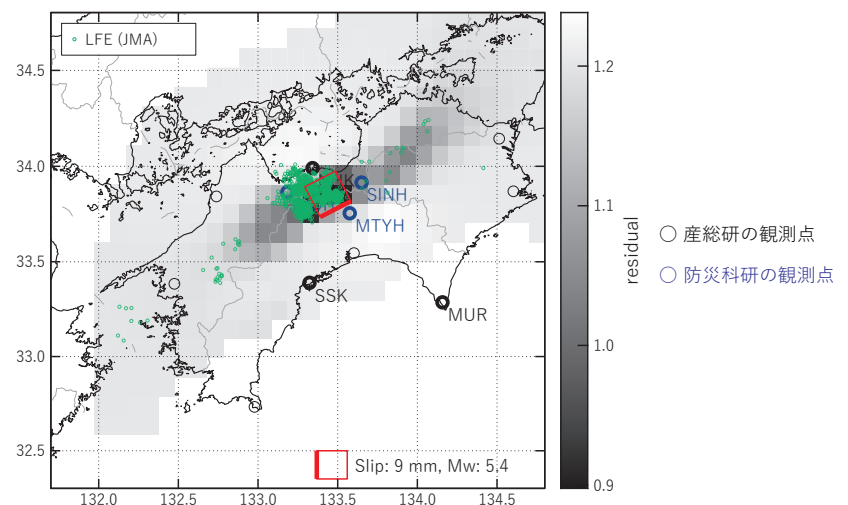
*参考解析結果

(b2) 主歪の観測値と(b1)に示した断層モデルから求めた計算値との比較。

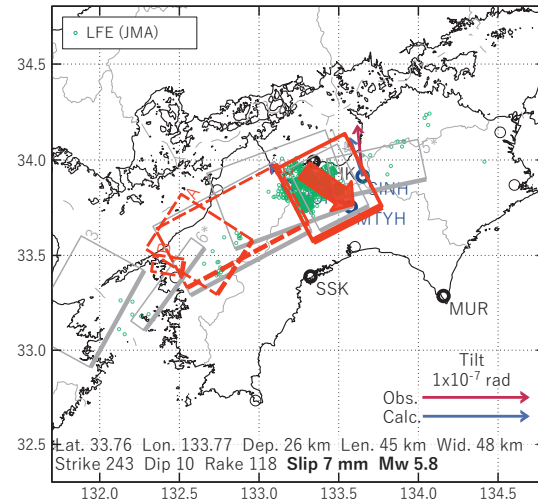
[D] 2025/06/26-07/02

暫定

(a) 断層の大きさを固定した場合の断層モデルと残差分布



(b1) 推定した断層モデル



(b2) 主歪

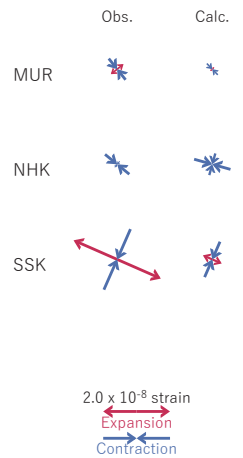


図6 2025/06/26-07/02の歪・傾斜変化 (図2[D]) を説明する断層モデル。

(a) プレート境界面に沿って20 x 20 kmの矩形断層面を移動させ、各位置で残差の総和を最小にするすべり量を選んだときの、対応する残差の総和の分布。赤色矩形が残差の総和が最小となる断層面の位置。

(b1) (a)の断層面付近をグリッドサーチして推定した断層面 (赤色矩形) と断層パラメータ。灰色矩形は最近周辺で発生した短期的SSEの推定断層面。

1: 2024/12/17-19AM (Mw6.0), 2: 2024/12/19PM-22AM (Mw5.8), 3: 2025/02/02PM-04AM (Mw5.6), 4: 2025/02/23-26AM (Mw5.5), 5*: 2025/03/25-29 (Mw5.6), 6*: 2025/04/23PM-25AM (Mw5.5), A: 2025/06/10-14 (Mw6.0), B: 2025/06/15 (Mw5.5), C: 2025/06/16-20 (Mw5.9)

*参考解析結果

(b2) 主歪の観測値と(b1)に示した断層モデルから求めた計算値との比較。

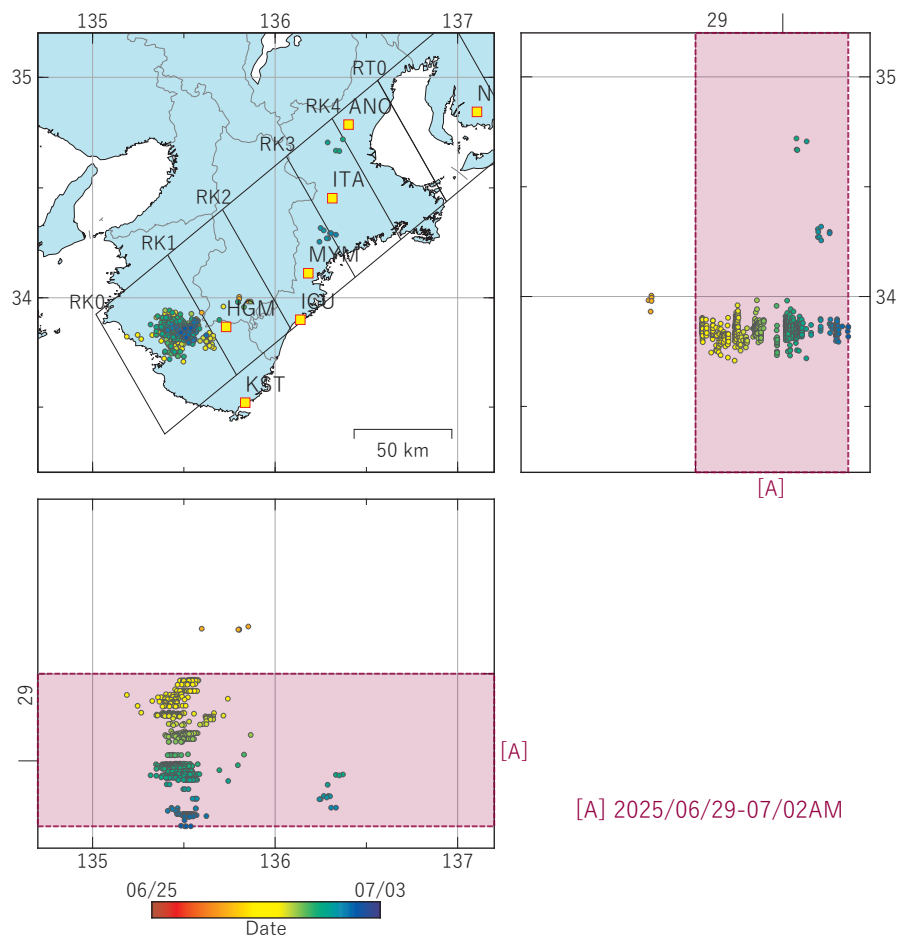


図7 紀伊半島における低周波地震の時空間分布図 (2025/06/25 00:00 - 2025/07/03 00:00 (JST))。気象庁カタログによる。
 (観測点名) NSZ: 西尾善明, ANO: 津安濃, ITA: 松阪飯高, MYM: 紀北海山, ICS: 熊野磯崎, HGM: 田辺本宮, K&T: 串本津荷

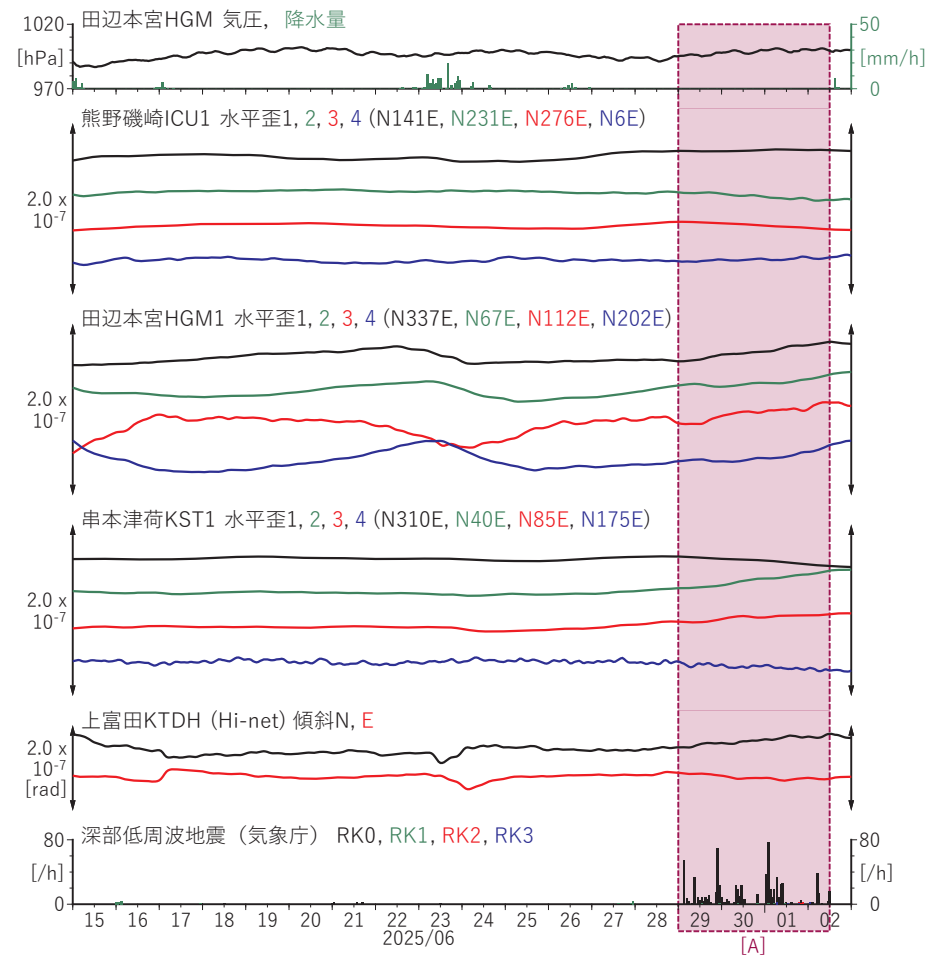
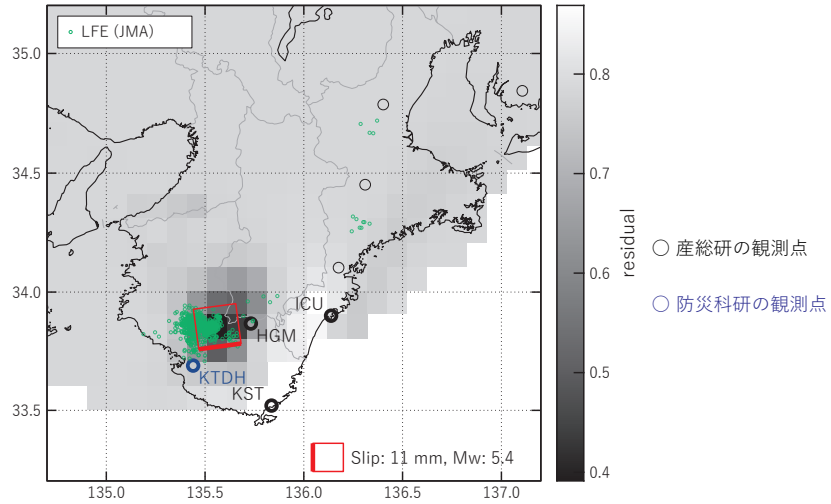


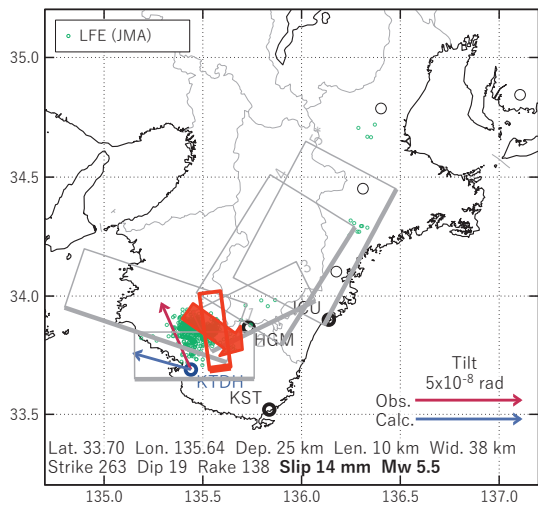
図8 紀伊半島における歪・傾斜観測結果 (2025/06/15 00:00 - 2025/07/03 00:00 (JST))

[A] 2025/06/29 - 07/02AM

(a) 断層の大きさを固定した場合の断層モデルと残差分布



(b1) 推定した断層モデル



(b2) 主歪

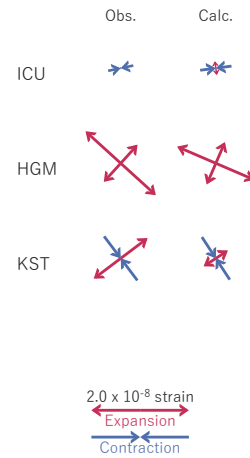


図9 2025/06/29 - 07/02AMの歪・傾斜変化(図8[A])を説明する断層モデル。

- (a) プレート境界面に沿って20 x 20 kmの矩形断層面を移動させ、各位置で残差の総和を最小にするすべり量を選んだときの、対応する残差の総和の分布。赤色矩形が残差の総和が最小となる断層面の位置。
- (b1) (a)の断層面付近をグリッドサーチして推定した断層面(赤色矩形)と断層パラメータ。灰色矩形は最近周辺で発生した短期的SSEの推定断層面。
- 1: 2024/09/07-09AM (Mw5.6), 2: 2025/03/17PM-18 (Mw5.3), 3: 2025/04/27-28 (Mw5.8), 4: 2025/04/29-30AM (Mw5.8), 5: 2025/04/30PM-05/04AM (Mw5.6)

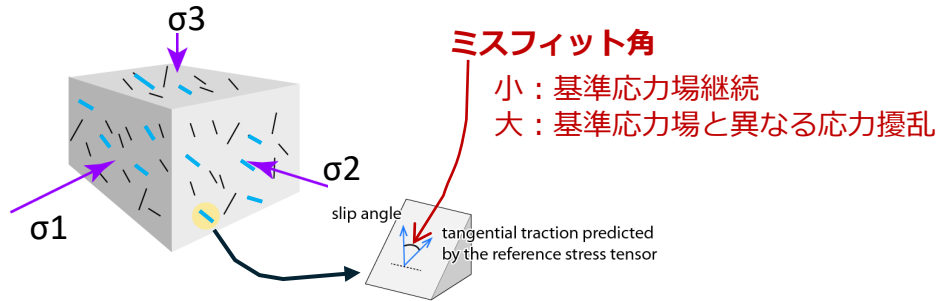
*参考解析結果

- (b2) 主歪の観測値と(b1)に示した断層モデルから求めた計算値との比較。

トカラ列島近海の地震活動の応力モニタリング

Terakawa et al. (2016)のモニタリング手法を適用

基準応力場とミスフィット角



2014年御岳山噴火

Terakawa et al. (2016)

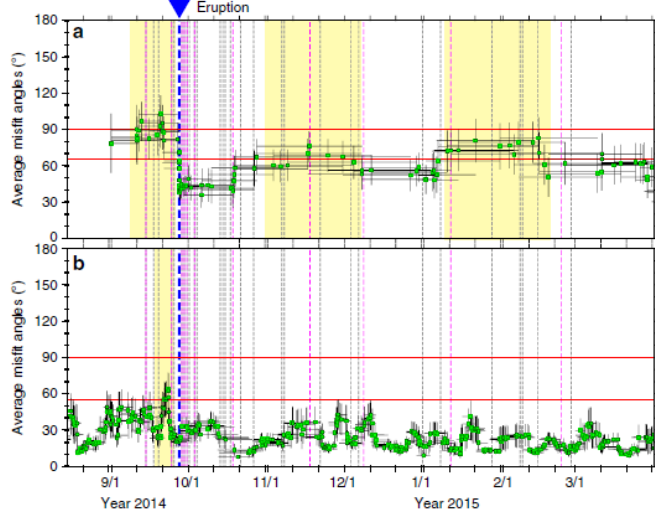


図1 Terakawa et al. (2016)による応力モニタリング法。2014年御岳山噴火の前は異常な圧力源の影響でミスフィット角の平均値が高く、噴火後は定常状態に戻ったことを示唆。

基準応力場

- ・1997年7月～2024年6月、深さ20km以浅のF-net解
- ・Michael (1986, 1987)の手法

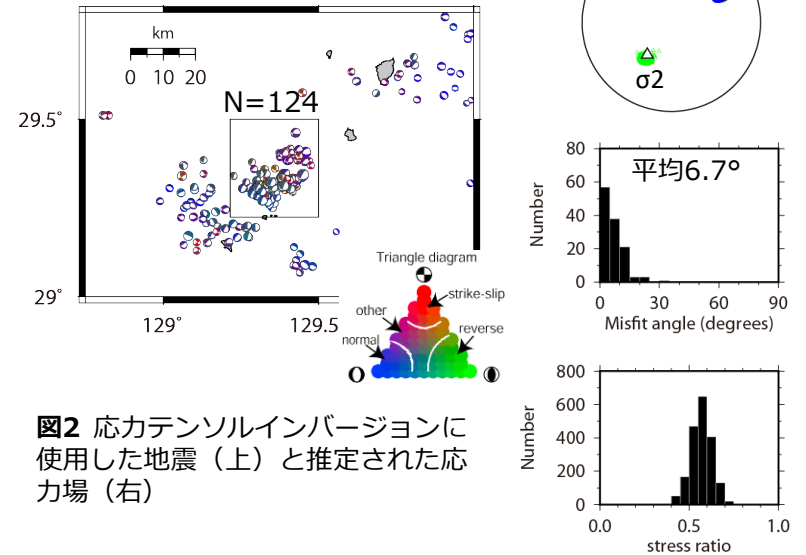


図2 応力テンソルインバージョンに使用した地震（上）と推定された応力場（右）

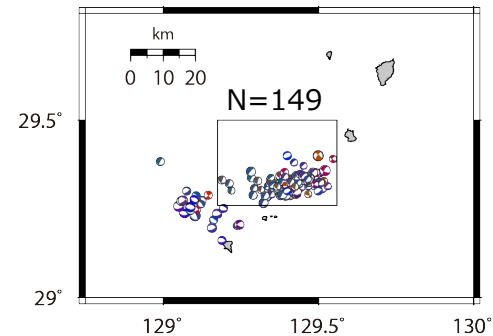


図3 ミスフィット角の計算に使った地震（2025/6/21～7/7 12時、深さ20km以浅のF-net解）

6/21~6/26頃にミスフィット角が一時的に増大し、6/30以降に再び増加傾向を示す

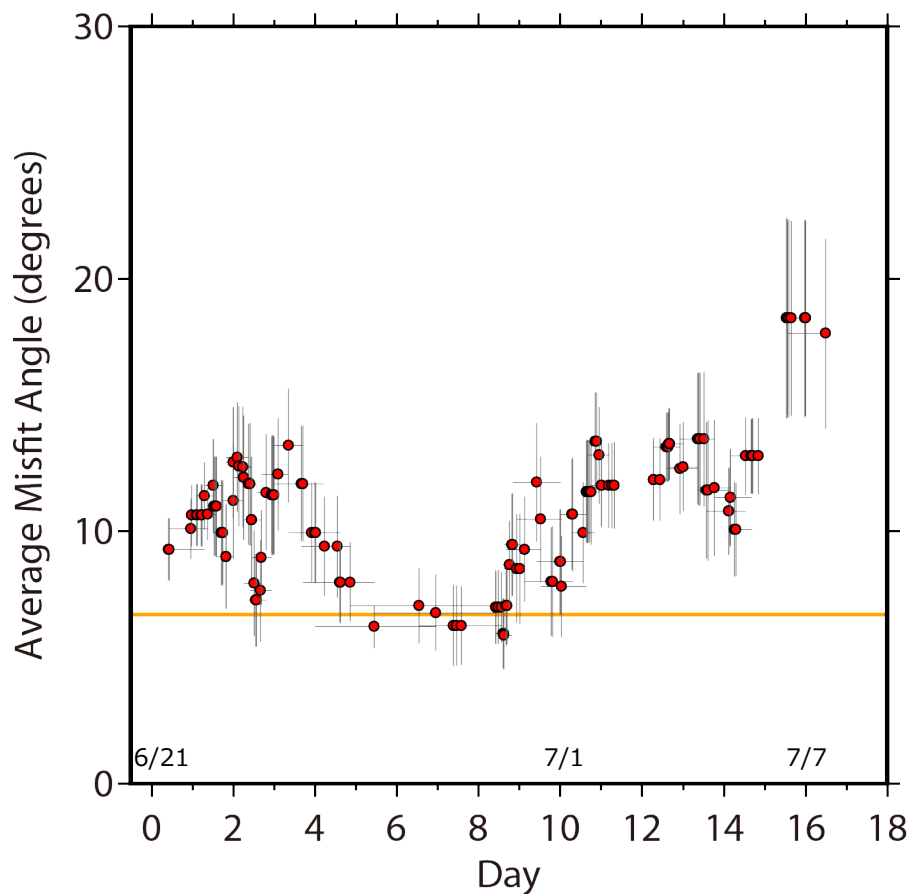


図4 ミスフィット角の平均値の時間変化（10イベントの移動平均）。横軸は6月21日からの経過日数。オレンジの線は、基準応力場の推定時に実施した応力テンソルインバージョンにおけるミスフィット角の平均値。

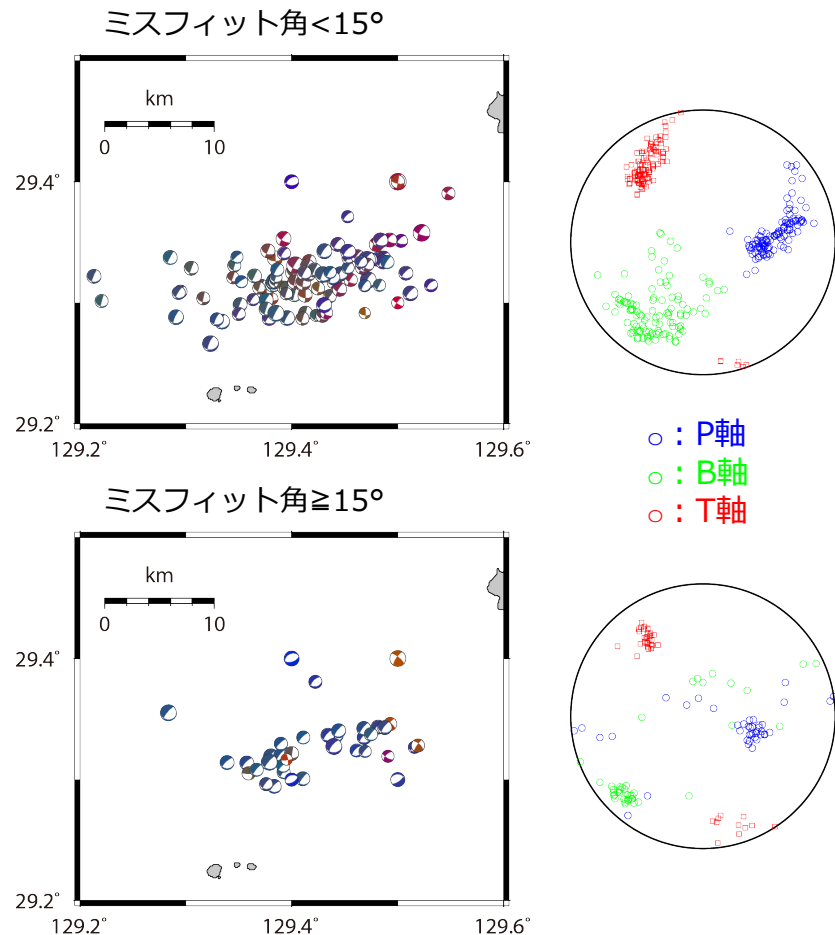


図5 ミスフィット角が15°未満と15°以上のメカニズム解の比較。ビーチボールの色は図2参照。ミスフィット角の大きい地震はP軸が高角になり、類似した正断層型が多い。